



## بررسی اثر فعال کننده سطح بر کلوخهای شدن نانو ذرات مگنتیت در فروسیال مغناطیسی

محمد قنبری<sup>۱</sup>، ابراهیم قاسمی<sup>۲\*</sup>، سعید باغشاهی<sup>۳</sup>، علی نعمتی<sup>۴</sup>

۱- دانشجوی کارشناسی ارشد، گروه مهندسی مواد، دانشگاه آزاد اسلامی، واحد علوم-تحقیقات، تهران، ایران، صندوق پستی: ۱۴۱۵۵-۳۳۴۹

۲- استادیار، گروه رنگدانه‌های معدنی و لاعب، مؤسسه پژوهشی علوم و فناوری رنگ و پوشش، تهران، ایران، صندوق پستی: ۱۶۷۶۵-۶۵۴

۳- دانشیار، گروه مواد، دانشکده فنی و مهندسی، دانشگاه بین‌المللی امام خمینی<sup>(۱)</sup>، قزوین، ایران، صندوق پستی: ۳۴۱۴۹-۱۶۸۱۸

۴- دانشیار، دانشکده مهندسی و علم مواد، دانشگاه صنعتی شریف، تهران، ایران، صندوق پستی: ۱۱۳۶۵-۱۱۱۵۵

در دسترس به صورت الکترونیکی از: ۱۳۹۲۶۲۰ تاریخ پذیرش: ۹۱/۷/۹ تاریخ دریافت: ۱۱/۱۶/۹۰

### چکیده

در این تحقیق، تاثیر غلظت و زمان افزودن فعال کننده سطح بر کلوخهای شدن، اندازه و خواص مغناطیسی نانو ذرات مگنتیت در فروسیال برپایه نفت مورد ارزیابی قرار گرفت. نانو ذرات مگنتیت با استفاده از روش هم رسویی سنتز و سپس در نفت به عنوان مابع حامل پراکنده شدند. از اسید اولتیک به عنوان فعال کننده سطح استفاده شد. به منظور تشخیص نوع فاصله شکل شده در سنتز و اندازه بلورک‌ها، از آزمون پراش اشعه ایکس (XRD)، برای بررسی جذب فعال کننده سطح روی سطح ذرات، آزمایش طیف‌سنجی زیر قرمز (FTIR)، برای تعیین خواص مغناطیسی از آزمایش سنجش نیروی گرادیان متناوب (AGFM) استفاده و اندازه و توزیع ساختارهای کلوخهای، با استفاده از آزمایش تفرق دینامیک لیزری (DLS) اندازه‌گیری شد. نتایج نشان داد که افزودن فعال کننده سطح قبل از انجام واکنش نسبت به وضعیت پس از واکنش، تا حد زیادی از تشکیل کلوخه‌ها جلوگیری می‌کند. در صورت استفاده از حدود ۱۰٪ وزنی اسید اولتیک قبل از انجام واکنش، فروسیالی با میانگین اندازه هیدرودینامیکی ۲۱ nm و میانگین اندازه ذرات ۱۳ nm به دست می‌آید. مشخص شد که اندازه و توزیع کلوخه‌ها با تغییر مقدار و زمان افزودن فعال کننده سطح، تغییر می‌کند.

واژه‌های کلیدی: فروسیال، فعال کننده سطح، کلوخهای شدن، مگنتیت، نانو ذرات.

## Investigation of Surfactant Effect on Agglomeration of Magnetite Nanoparticles in Ferrofluid

M. Ghanbari<sup>1</sup>, E. Ghasemi<sup>\*2</sup>, S. Baghshahi<sup>3</sup>, A. Nemati<sup>4</sup>

<sup>1</sup> Islamic Azad University Science and Research Branche, P.O.Box: 14155-3349, Tehran, Iran

<sup>2</sup> Institute for Color Science and Technology, P.O.Box: 16765-654, Tehran, Iran

<sup>3</sup> Department of Technical and Engineering, Imam Khomeini International University, P.O.Box: Ghazvin, Iran

<sup>4</sup> Departement of Material Engineering, Sharif University, P.O.Box: 11365-11155, Tehran, Iran

Received: 05-02-2012

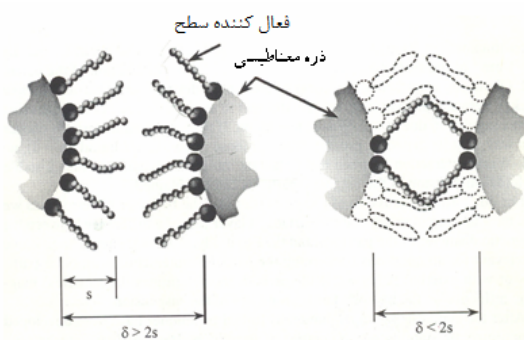
Accepted: 30-09-2012

Available online: 10-06-2013

### Abstract

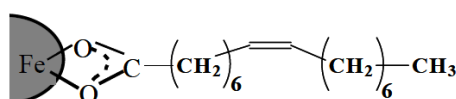
In this research the effects of surfactant concentration and its addition time in the synthesis procedure of kerosene based ferrofluid were investigated. Magnetite nanoparticles were prepared by co-precipitation method and were dispersed in Kerosene as carrier liquid. Oleic acid was used as surfactant. Powder X-ray diffraction was used to phase identification and crystallite size was calculated via scherrer formula. For investigating of surfactant adhesion on particles Fourier transform infrared spectroscopy was used. Magnetic properties were studied using alternative gradient force measurement. Size and distribution of agglomerates were studied by dynamic laser scattering. Results show that addition of surfactant before reaction effectively prevents from agglomeration. If oleic acid is added about 10wt% before reaction, hydrodynamic size and particle size will be 21nm and 13nm respectively. It was revealed that the size of agglomerates and their distribution are effectively changed when the concentration and addition time of surfactant is changed. J. Color Sci. Tech. 7(2013), 85-92 © Institute for Color Science and Technology.

**Keywords:** Ferrofluid, Surfactant, Agglomeration, Magnetite, Nanoparticles



شکل ۱: شماتیک از دافعه فضایی شاخه‌های مولکول‌های فعال کننده سطح [۱].

در محیط حلال آبی، استفاده از اسید اولئیک برای پایدارسازی ذرات مگنتیت و مگهمیت مرسوم است [۴-۶]. این ماده یک اسید اشباع چرب به فرمول  $C_{18}H_{34}O_2$  یا  $CH_3(CH_2)_7CH=CH(CH_2)_7COOH$  است که با سطح اکسید آهن اتصال کووالانت برقرار می‌کند [۷]. در شکل ۲ تصویر نمادین از نحوه اتصال این فعال کننده سطح با سطح ذره اکسید آهن دیده می‌شود. علاوه بر این، استفاده از فعال کننده‌های سطحی مانند اسید لاریک [۹، ۸] و اسید سیتریک [۱۰] نیز گزارش شده است.



شکل ۲: پایدارسازی ذرات اکسید آهن به وسیله اسید اولئیک [۱۱].

ژومان<sup>۳</sup> و همکارانش [۱۲] گزارش کرده‌اند که استفاده از دو لایه پوشش فعال کننده سطح بر روی سطح نانوذرات مگنتیت باعث افزایش میزان پراکندگی می‌شود. آنها از اولئیک‌سیدیم به عنوان اولین پوشش و سدیم دودسیل بنزن سولفونات<sup>۴</sup> به عنوان دومین لایه پوشش فعال کننده سطح بر روی سطح نانوذرات استفاده کردند. پوشش اولئیک‌سیدیم بر روی سطح نانوذرات مگنتیت باعث شد که شکل ذرات کروی و متوسط اندازه ذرات ۱۰ nm شود. همچنین استفاده موثر از عامل‌های سطحی مانند اولئات سدیم و پلی‌اتیلن گلیکول برای پایدارسازی نانوذرات اکسید آهن در فروسیال پایه آبی نیز گزارش شده است [۱۳]. عوامل مختلفی مانند جو واکنش [۱۴] نوع فعال کننده سطح، غلظت، زمان واکنش، وغیره بر اندازه ذرات و کلوخه‌ای شدن آنها تاثیر می‌گذارد. گرچه در منابع مختلف، بر استفاده از اسید اولئیک به عنوان فعال کننده سطح مناسب برای فروسیال‌های بر پایه نفت و روغن تأکید شده است ولی در خصوص تاثیر غلظت و زمان واکنش در

## ۱- مقدمه

فروسیال‌ها سوسپانسیون‌های پایدار از نانوذرات مغناطیسی مانند  $Fe_3O_4$  (مگنتیت)،  $CoFe_2O_4$  (مگهمیت)،  $Fe_2O_3\gamma$ - (مگهمیت)،  $\delta$ - (مگهمیت)،  $Fe_2O_3$  وغیره هستند که در یک مایع حامل مانند نفت، آب، روغن وغیره پراکنده می‌شوند [۱۱]. عموماً ذرات مغناطیسی در این مواد دارای خاصیت ابر پارامغناطیسی و تک حوزه‌ای هستند. این مواد به دلیل خواص ویژه مغناطیسی و سیالیت دارای کاربردهای گسترده‌ای مانند جوهرهای چاپ، پوشش‌های هوشمند، بلندگوهای صوتی، انتقال دارو وغیره می‌باشند. میانگین اندازه ذرات پراکنده شده برای ماده مگنتیت برابر پایداری مناسب و حفظ خاصیت ابرپارامغناطیسی حدود ۱۰ نانومتر است [۲]. یکی از بحث‌های مهم در قابلیت کاربرد فروسیال‌ها پایداری سوسپانسیونی است که تا حد زیادی به اندازه ذرات و کلوخه‌ها بستگی دارد. به منظور ایجاد پایداری در فروسیال‌ها و جلوگیری از به هم چسبیدن ذرات در اثر جاذبه واندروالس، سطح ذرات را از موادی به نام فعال کننده سطح<sup>۱</sup> می‌پوشانند. گفته می‌شود ضخامت این پوشش در حدود ۲-۳ nm می‌باشد و جنس آنها از مواد آلی است [۱۱]. استفاده از مواد فعال کننده سطح، بسته به اینکه سیال حامل از نوع آبی باشد یا آلی، متفاوت است و محدوده گسترده‌ای از مواد آلی را در بر می‌گیرد. شکل ۱ وضعیت ظاهری قرار گرفتن فعال کننده سطح را بر روی نانو ذرات اکسید آهن نشان می‌دهد. مادامی که فاصله سطح ذرات بیشتر از دو برابر ضخامت لایه فعال کننده سطح است هیچ برهمنکش دافعه‌ای دیده نمی‌شود. ولی با کاهش فاصله به کمتر از این اندازه، شاخه مولکول‌ها از حالت نظم اولیه خارج شده و به دلیل تمايل به حفظ آرایش اولیه نیروی رانش ایجاد کرده و حوزه رانشی در اطراف آن ایجاد می‌شود [۳]. در نتیجه ذرات با فاصله معینی از یکدیگر قرار گرفته و از کلوخه‌ای شدن<sup>۲</sup> ذرات پیش‌گیری می‌شود.

فعال کننده سطح با ضخامت ۲ nm سد انرژی در حد  $K_B T$ <sup>۳</sup> ایجاد می‌کند که برای جدا نگهداشتن و پیشگیری از اتصال ناشی از برهمنکش واندروالس ذرات کافی است. در صورتی که فعال کننده سطح طوری انتخاب شود که خواص دی‌الکتریک آن با سیال حامل سازگار باشد، هیچ برهمنکش واندروالسی بین مولکول‌های فعال کننده سطح رخ نمی‌دهد و یک سوسپانسیون کلوبیدی پایدار به دست می‌آید [۱۱]. با این حال همواره تلاش برای به دست آوردن ذرات کاملاً جدا از هم و یک سامانه کاملاً پایدار مشکل است و عموماً کلوخه‌ای شدن ذرات تا حدودی اتفاق می‌افتد. علت این موضوع به عواملی مانند تعدد برهمنکش‌های بین ذرات، محدودیت در انتخاب نوع سیال پایه و فعال کننده سطح و مشکل بودن کنترل ضخامت فعال کننده سطح مربوط می‌شود [۱، ۳]. مسئله کلوخه‌ای شدن ذرات به ویژه در فروسیال‌هایی که بر پایه آب ساخته می‌شوند حادر است. چراکه در این حالت، قطبی بودن ذرات و بارهای سطحی نیز مطرح است.

1- Surfactant

2- Agglomeration

### ۲-۳-۲- بررسی خواص

از آزمون پراش پرتو X (XRD) به منظور تعیین نوع فاز و اندازه بلورکها استفاده شد. برای این کار، از دستگاه پرتو X مدل PW1800 از شرکت فیلیپس و لامپ مس استفاده شد. نمونه‌هایی که برای انجام این آزمایش مورد استفاده قرار گرفت به صورت پودر بود. برای تعیین میزان پوشش سطح ذرات توسط فعال کننده سطح، آزمون FTIR انجام شد. برای انجام این آزمون از دستگاه مدل طیفسنج ترمو (NICOLET) مدل 870 و عدد موج از  $400\text{ cm}^{-1}$  استفاده شد.

همچنین برای انجام این آزمون، نمونه‌های اسید اولیک خالص و نانوذرات مگنتیت بدون فعال کننده سطح، به عنوان نمونه‌های مرجع مورد ارزیابی قرار گرفتند.

برای تعیین کمیت‌های مغناطیسی و بررسی خواص مغناطیسی ذرات، از دستگاه سنجش نیروی گرادیان متنابض (AGFM) مدل ۱۵۰ متعلق به شرکت مغناطش دقیق کاشان استفاده شد که مانند دو آزمون قبل نمونه‌ها به صورت پودر بودند.

برای تعیین توزیع اندازه ذرات و اندازه کلوخهای تشکیل شده، از آزمون پراش دینامیکی لیزر (DLS) استفاده شد برای این کار از دستگاه ۳۰۰۰ Malvern با دقت اندازه‌گیری بین  $2\text{ - }5000\text{ nm}$  استفاده گردید. برای انجام آزمون ابتدا نمونه‌ها با اضافه کردن نفت، تا حد لازم برای عبور نور رقیق شد و قبل از اندازه‌گیری تحت فرآصوت قرار گرفت.

### ۳- نتایج و بحث

نتایج الگوهای XRD در شکل ۳ آمده است. پیک‌های نسبتاً عریضی که در این شکل دیده می‌شود به کوچک بودن اندازه ذرات مربوط می‌شود. به دلیل شباهت زیاد بین داده‌های XRD بین مگنتیت و مگهمنیت تمایز این دو فاز از هم آسان نیست. اما همان‌طور که گفته شده است چون سنتز تحت شرایط غیراکسیدی انجام شده است احتمال وجود فاز مگهمنیت کم می‌باشد [۱۶]. برای تعیین اندازه بلورکها از رابطه شر  $2$  استفاده شد:

$$D = \frac{0.9\lambda}{\beta \cos \theta} \quad (2)$$

که در آن  $\lambda$  طول موج پرتو  $X$ ،  $\beta$  عرض نصف ارتفاع پیک اصلی صفحه یعنی  $(311)$  و  $\theta$  زاویه مربوط به پیک اصلی است. در جدول ۲ مقادیر محاسبه شده آورده شده است. ذکر این نکته لازم است که به دلیل کوچک بودن اندازه ذرات و تک حوزه‌ای بودن ذرات، اندازه بلورکها با اندازه ذرات یکسان است.

حضور یا عدم حضور فعال کننده سطح بر اندازه ذرات تشکیل شده و میزان کلوخهای شدن آنها منابع زیادی در دسترس نیست. از این رو نتایج این بررسی در این مقاله به عنوان دستاوردهای نوین تلقی می‌شود. در این تحقیق، سعی کردۀایم که در یک فروسیال بر پایه نفت، به بررسی تأثیر غلظت و ترتیب افزودن فعال کننده سطح بر اندازه ذرات، کلوخهای شدن و خواص مغناطیسی نانو ذرات مگنتیت پردازیم.

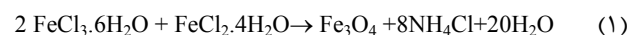
## ۲- بخش تجربی

### ۲-۱- مواد

کلرید آهن III  $(\text{FeCl}_3 \cdot 6\text{H}_2\text{O})$ ، کلرید آهن II  $(\text{FeCl}_2 \cdot 4\text{H}_2\text{O})$ ، آمونیاک، اسید اولیک همگی در خلوص آزمایشگاهی بوده و از شرکت سیگما آلدريج<sup>۱</sup> تهیه شدند. نفت سفید نیز از نوع صنعتی انتخاب شد

### ۲-۲- ساخت نمونه‌های فروسیال

برای ساخت نانو ذرات مغناطیسی از روش هم رسوی استفاده شد [۱۵]. فرآیندی که در آن نانو ذرات مگنتیت از دو نمک محلول ایجاد می‌شود مطابق واکنش ۱ می‌باشد:



ابتدا محلول آبی  $5\text{ ml}$  مولار از  $\text{FeCl}_2 \cdot 4\text{H}_2\text{O}$  و  $\text{FeCl}_3 \cdot 6\text{H}_2\text{O}$  جداگانه آماده و با نسبت  $2:1$  در داخل یک راکتور شیشه‌ای چند دهانه و در مععرض گاز نیتروژن مخلوط شد. سپس برای هر نمونه مقدارهای مختلف اسید اولیک طبق جدول ۱ اضافه شد. پس از  $10\text{ min}$  دقیقه،  $70\text{ ml}$  آمونیاک به سرعت به راکتور اضافه کرده و به مدت  $15\text{ rpm}$  با همزن مکانیکی با سرعت  $600\text{ rpm}$  همzedه شد. در این مرحله، رسوی سیاه رنگ تشکیل شد که نشان‌دهنده تشکیل ذرات  $\text{Fe}_3\text{O}_4$  بود که با جداسازی رسوی و چند مرتبه شستشو، در داخل نفت پراکنده و با استفاده از همزن مکانیکی در سرعت بالا به خوبی پراکنده شد.

جدول ۱: مقدار و زمان اضافه شدن اسید اولیک.

نمونه	مقدار و زمان اضافه شدن اسید اولیک (wt%)
FFSO1	٪/۱۰، قبل از افزودن آمونیاک
FFSO2	٪/۱۰، بعد از شستشوی نهایی
FFSO6	٪/۴، بعد از شستشوی نهایی

1- Sigma Aldrich

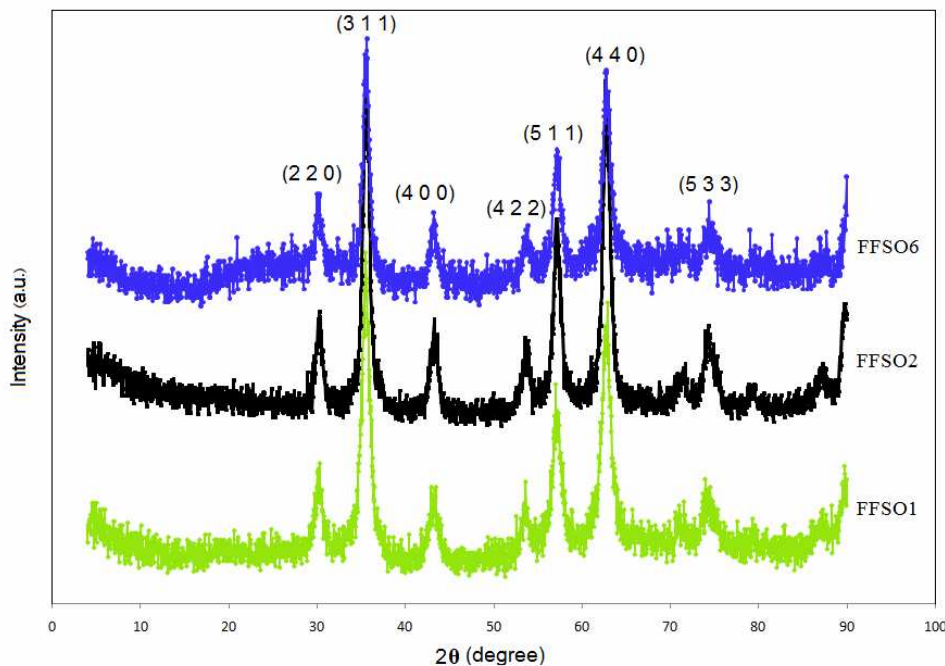
وجود آنکه عامل سطحی پس از پایان واکنش به سامانه افزوده شده است ولی افزایش مقدار فعال کننده سطح، موجب کاهش اندازه بلورکها شده است. این موضوع نشان می‌دهد که فرآیند رشد ذرات هنگام افزودن عامل سطحی پایان نیافته و به همین دلیل مقدار فعال کننده سطح بر کنترل رشد بلورکها موثر است.

نتایج حاصل از آزمون FTIR برای اسید اولئیک خالص، نفت، نانو ذرات مغنتیت بدون فعال کننده سطح و همچنین نمونه‌های FFSO1، FFSO2 و FFSO6 در شکل ۴ نمایش داده است. اسید اولئیک خالص دارای دو پیک جذب تیز در عدد موج  $2855\text{ cm}^{-1}$  و  $2930\text{ cm}^{-1}$  می‌باشد که این دو پیک به ترتیب مربوط به ارتعاشات کششی متقارن و نا متقارن پیوند (C-H) در گروه متیل و متیلن می‌باشد. مشخصه اسید اولئیک پیک جذبی در عدد موج  $1285\text{ cm}^{-1}$  می‌باشد. کششی پیوند (C-O) می‌باشد. پیک‌های موجود در عدد موج  $1464\text{ cm}^{-1}$  و  $938\text{ cm}^{-1}$  مربوط به پیوند (O-H) صفحه‌ای و غیرصفحه‌ای می‌باشد. پیک موجود در عدد موج  $1712\text{ cm}^{-1}$  نشان‌دهنده باند کششی کربونیل است. پیک پهن جذبی در محدوده  $3200$  تا  $3600\text{ cm}^{-1}$  برای مغنتیت نشان‌دهنده ارتعاشات کششی پیوند (O-H) برای آب و پیک موجود در  $1411\text{ cm}^{-1}$  نشان‌دهنده ارتعاشات کششی پیوند (C-O) می‌باشد.

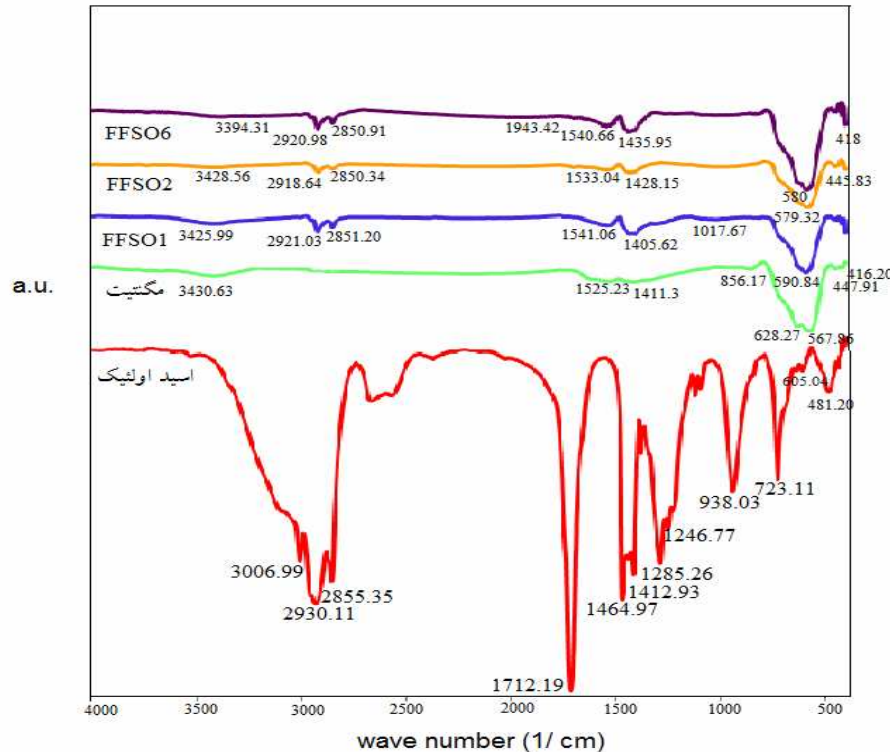
جدول ۲: اندازه بلورک‌های به دست آمده از رابطه شر.

نمونه	اندازه بلورک‌ها (nm)
FFSO1	۱۲.۸
FFSO2	۱۴.۲
FFSO6	۱۶

طبق این جدول، نمونه‌ای که فعال کننده سطح قبل از واکنش اضافه شده دارای اندازه ذرات کوچک‌تری است و بیشترین اندازه به نمونه‌ای مربوط می‌شود که فعال کننده سطح پس از پایان مراحل شستشو اضافه شده است. این نشان می‌دهد که حضور فعال کننده سطح در هنگام واکنش موجب کاهش اندازه ذرات می‌شود. به عبارت دیگر، ذرات مغنتیت در هنگام جوانه‌زنی، به دلیل سطح فعال و انرژی سطحی زمینه برای حمله شاخه‌ها بر روی سطح فراهم شده و ذرات اولیه به سرعت احاطه می‌شوند. بنابراین رشد ذرات با محدودیت مواجه شده و اندازه ذرات کوچک باقی می‌ماند. همچنین مقدار فعال کننده سطح در مقایسه دو نمونه FFSO2 و FFSO6 نشان می‌دهد که با



شکل ۳: الگوی XRD برای سه نمونه فروسیال.

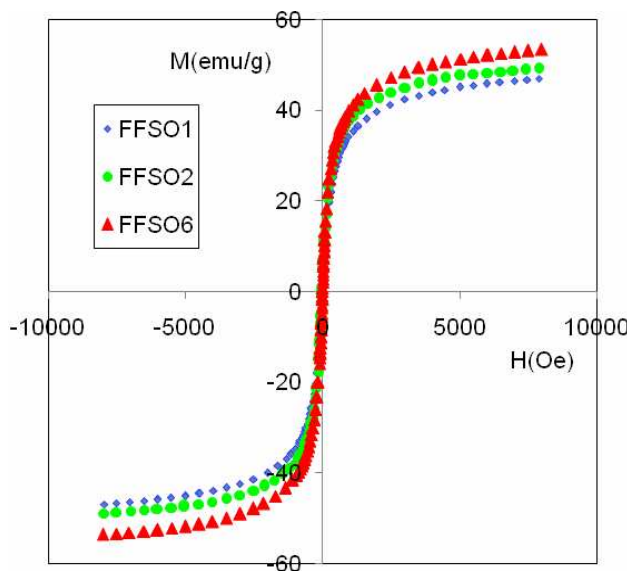


شکل ۴: مقایسه طیف سنجی مادون قرمز نانو ذرات مگنتیت پوشیده شده توسط فعال کننده سطح (FFSO1، FFSO2 و FFSO6)، مگنتیت بدون فعال کننده سطح، اسید اولئیک.

منحنی هیسترزیس مغناطیسی به دست آمده از آزمون AGFM که با اعمال میدان مغناطیسی بروی پودر نمونه‌های FFSO2، FFSO1 و FFSO6 به دست آمد در شکل ۵ نشان داده شده است. در منحنی هیسترزیس مغناطیسی، حلقه هیسترزیس خاصی مشاهده نمی‌شود، همچنین عدم رسیدن مقدار M به حد ثابت، نشان دهنده رفتاری مشابه رفتار ابرپارامغناطیسی می‌باشد [۱۹-۲۲]. همان‌طور که در این شکل مشاهده می‌شود نمونه FFSO6 نسبت به نمونه FFSO2 و FFSO1 دارای اشباع مغناطیسی بیشتری می‌باشد. دراوید<sup>۱</sup> و همکارانش [۲۳] در تحقیقی که به مقایسه اثر فعال کننده‌های سطح به صورت دولایه و تکلایه بر پایداری فروسیالی حاوی نانو ذرات مگنتیت پرداخته بودند مشاهده کردند که با افزایش لایه‌های فعال کننده سطح، مغناطیسی شدن کاهش می‌یابد که علت آن را کاهش مقدار ذرات مغناطیسی در وزن‌های مساوی از فروسیال با افزایش مقدار فعال کننده سطح مطرح کردند.

۱-Dravid

با توجه به نمودارهای FTIR اسید اولئیک و مگنتیت خالص می‌توان چنین نتیجه‌گیری کرد که پیک موجود در اعداد موج ۲۸۵۱ و ۲۹۲۰ cm<sup>-۱</sup> برای سه نمونه FFSO6، FFSO2 و FFSO1 نامناسب به ارتعاشات کششی متقارن و نامتقارن پیوند (C-H) در اسید اولئیک می‌باشد و با توجه به این که این پیکها در سه نمونه به اعداد موج پایین‌تر شیفت پیدا کرده‌اند این نتیجه به دست می‌آید که زنجیره‌های هیدروکربنی، سطح نانوذرات را احاطه کرده‌اند. پیک موجود در عدد موج ۱۷۰۰ cm<sup>-۱</sup> برای نمونه‌های FFSO6 و FFSO2 و ۱۴۲۸ cm<sup>-۱</sup> برای نمونه FFSO1 نشان دهنده ارتعاشات کششی پیوند (C-O) ناشی از CO<sub>2</sub> موجود در هوا می‌باشد و پیک ۱۷۱۲ cm<sup>-۱</sup> در اسید اولئیک، در هر سه نمونه کاملاً حذف شده است. پیک موجود در اعداد موج در حدود ۴۱۸ cm<sup>-۱</sup> مربوط به ارتعاشات پیوند (Fe-O) در مواضع اکتاہدرال و برای اعداد ۵۶۷، ۵۸۰، ۵۸۲، ۴۴۷ cm<sup>-۱</sup> برای نمونه‌های مگنتیت دارای عوامل سطحی و نمونه‌های بدون عامل سطحی نشان دهنده ارتعاشات پیوند (Fe-O) در مواضع تتراہدرال می‌باشد. با توجه به این که پیک‌های مربوط به پیوند (C-H) اسید اولئیک در نمونه‌های FFSO1 جذب بیشتری را نشان می‌دهد، این نتیجه حاصل می‌شود که اسید اولئیک بیشتری روی سطح ذرات این نمونه قرار گرفته است [۱۷، ۱۸].



شکل ۵: منحنی هیسترزیس مغناطیسی برای سه نمونه FFSO1، FFSO2 و FFSO6.

که در این رابطه  $k$  ثابت بولتزمن،  $T$  دمای مطلق،  $\mu_0$  نفوذپذیری مغناطیسی خلا،  $\chi$  حساسیت مغناطیسی در شدت میدان‌های ضعیف و  $M_s$  اشباع مغناطیسی است. بنابراین برای محاسبه اندازه ذرات مغناطیسی لازم است که کمیت‌های اشباع مغناطیسی و حساسیت مغناطیسی محاسبه شوند.  $M_s$  عرض از مبدأ خط عبورکننده از نمودار  $M$  بر حسب  $1/H$  در مقادیر بالای  $M$  می‌باشد [۲۴]. این مقدار برای نمونه‌های FFSO1 و FFSO2 به ترتیب  $50,68$  emu/g و  $51,56$  emu/g است.  $\chi = (dM/dH)_{H=0}$  می‌باشد. شبیخ نمودار  $M$  در شدت میدان‌های نزدیک به صفر مقدار  $\chi$  را نشان می‌دهد [۱۱]. در جدول ۳ نتایج به دست آمده از محاسبات خواص مغناطیسی خلاصه شده است.

مقایسه اندازه مغناطیسی (جدول ۳) و اندازه بلورک‌ها (جدول ۲) مشخص می‌کند که اندازه مغناطیسی از اندازه بلورک‌ها کوچکتر است. این موضوع به دلیل وجود لایه مرده در سطح ذرات مگنتیت می‌باشد [۱۹].

بنابراین به طور مشابه می‌توان چنین استنباط نمود که با افزایش مقدار فعال‌کننده سطح، از غلظت ذرات مغناطیسی در وزن‌های مساوی از فروسیال‌ها کاسته شده و در نتیجه اشباع مغناطیسی نیز کاهش می‌یابد. نمونه FFSO1 از مقادیر یکسان اسید اولئیک برخوردار هستند، اما نمونه FFSO2 از اشباع مغناطیسی بالاتری برخوردار است. این نشان می‌دهد که اسید اولئیک هنگامی که در مرحله آماده سازی نانوذرات مغناطیسی (قبل از شستشو و اضافه کردن مایع حامل) به ترکیب اضافه می‌شود از قابلیت پوشانندگی بیشتری برخوردار بوده است. اما این دلیل به تنها برای بیان این اثر کافی نمی‌باشد و در نتیجه برای بحث در خصوص ویژگی‌های مغناطیسی ذرات موجود در فروسیال لازم است تا برخی از مشخصه‌ها محاسبه شوند.

همچنین محاسبه اندازه ذرات مغناطیسی جهت برآورد برهکنش‌های بین ذرات اهمیت ویژه‌ای دارد. برای محاسبه اندازه ذرات از رابطه ۳ استفاده شد [۲۴]:

$$D_m = \left[ \frac{18kT}{\pi\mu_0} \frac{\chi_i}{M_s^2} \right]^{\frac{1}{3}} \quad (3)$$

جدول ۳: مشخصه‌های مغناطیسی محاسبه شده نانوذرات مغناطیسی.

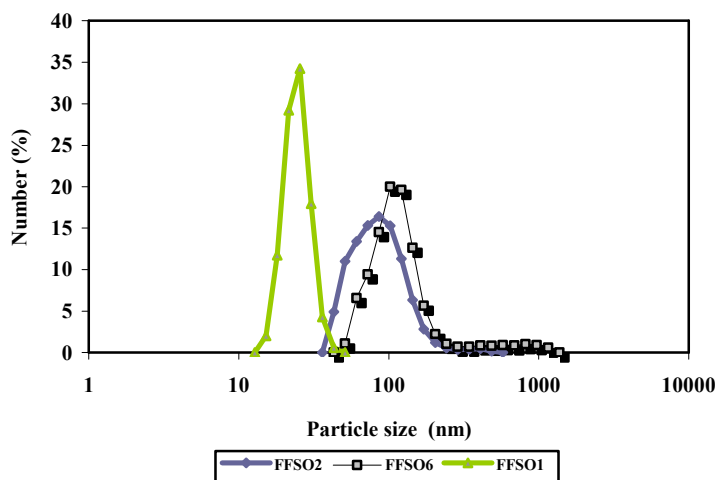
$D_m$ (nm)	$M_s$ (emu/g)	$M_R$ (emu/g)	$H_c$ (Oe)	$\chi_i$	نمونه
۱۲,۷	۵۰,۶۸	۰,۱۷	۱,۲۴	۷,۶۲	FFSO1
۱۳,۶	۵۱,۵۶	۰,۲۶	۱,۶	۹,۴۱	FFSO2
۱۵	۵۸,۳	۰,۳۶	۱,۹	۱۱	FFSO6

بیشتر باشد فروسیال به دست آمده از ساختارهای کلوخهای کمتری برخوردار است. اما تنها مقدار فعال کننده سطح عامل تعیین کننده میزان کلوخهای در ساختار فروسیال نیست، زیرا دو نمونه FFSO1 و FFSO2 از مقدار یکسان اسید اولئیک برخوردار هستند، اما نمونه FFSO1 توزیع اندازه ذرات باریک تری دارد که نشان دهنده وجود ساختارهای کلوخهای کمتری در این فروسیال است. علت آن را می‌توان به مرحله اضافه کردن فعال کننده سطح نسبت داد، زیرا در نمونه FFSO1 اسید اولئیک قبل از تشکیل ذرات اکسید آهن به محلول کلریدهای آهن اضافه شده و بلا فاصله پس از تشکیل نانو ذرات اکسید آهن، روی سطح ذرات قرار گرفته و مانع از به هم چسبیدن ذرات می‌شود. اما در مورد نمونه FFSO2 که اسید اولئیک پس از پراکنده شدن ذرات در نفت اضافه می‌شود، ابتدا ذرات در اثر برهم‌کنش‌های بین ذرهای و همچنین میدان مغناطیسی آهنربا در هنگام شستشو تشکیل کلوخهای و ساختارهای اولیه می‌دهند و با اضافه شدن اسید اولئیک در معرض گرما و هم‌زدن مکانیکی، این ساختارها به صورت جزئی شکسته شده و اسید اولئیک روی سطح آنها قرار می‌گیرد، این نتیجه نشان می‌دهد که مرحله اضافه کردن اسید اولئیک تاثیر مهمی بر تشکیل ساختارهای کلوخهای در ساختار فروسیال دارد.

با توجه به مقادیر حساسیت مغناطیسی و اشباع مغناطیسی، بهبود خاصیت مغناطیسی نمونه FFSO6 نسبت به دو نمونه دیگر بارزتر است. علت این موضوع، تا حدی به رشد اندازه ذرات مغناطیسی نیز مربوط می‌شود. با وجود مقادیر یکسان اسید اولئیک، رشد اندازه ذرات در نمونه FFSO2 نسبت به نمونه FFSO1 به دلیل شرایط سنتز، دلیل اصلی بهتر بودن خاصیت مغناطیسی نمونه FFSO2 نسبت به نمونه FFSO1 می‌باشد. از طرف دیگر عامل پیشگیری از اکسیداسیون سطح ذرات به دلیل پوشش بهتر توسط عوامل سطحی نیز در این رابطه موثر است اما با توجه به این که ساخت فروسیال‌ها در حضور گاز نیتروژن انجام شد تاثیر این عامل نسبت به عوامل مطرح شده کمتر می‌باشد. نتایج حاصل از آزمون DLS (اندازه هیدرودینامیکی) بر روی سه نمونه فروسیال، در شکل ۶ دیده می‌شود. همچنین جهت مقایسه، اندازه‌های بلورک‌ها و اندازه مغناطیسی مقادیر مربوطه در جدول ۴ آورده شده است. مطابق شکل ۶ مشخص است که توزیع اندازه ذرات برای نمونه FFSO1 نسبت به دو نمونه دیگر، باریک‌تر بوده و به حالت نرمال نزدیک‌تر است. براساس جدول ۴ اندازه متوسط ذرات در این نمونه، کوچک‌تر از سایر نمونه‌ها است. این موضوع نشان دهنده وجود کلوخهای کمتر در این نمونه است که یکی از علتهای آن، مقدار فعال کننده سطح اضافه شده می‌باشد. با توجه به جدول ۱ و شکل ۶ می‌توان چنین نتیجه‌گیری کرد که هرچقدر مقدار فعال کننده سطح

جدول ۴: مقایسه متوسط اندازه‌های به دست آمده برای ذرات فروسیال.

نمونه	اندازه هیدرودینامیکی ذرات (nm)	اندازه بلورک‌ها(nm)	اندازه مغناطیسی (Dm)
FFSO1	۲۳	۱۲.۸	۱۲.۷
FFSO2	۱۰۳	۱۴.۲	۱۳.۶
FFSO6	۱۳۹	۱۶	۱۵



شکل ۶: مقایسه توزیع اندازه ذرات نمونه‌های فروسیال.

توزیع اندازه ذرات نسبت به حالتی که فعال کننده سطح بعد از واکنش افزوده می‌شود به توزیع نرمال نزدیکتر است. افزودن فعال کننده سطح از طرفی موجب افزایش پایداری و از طرف دیگر موجب کاهش اشباع و حساسیت مغناطیسی نانو ذرات مگنتیت می‌شود. بنابراین لازم است تا بین این دو عامل یک حد بهینه در نظر گرفته شود.

#### ۴- نتیجه‌گیری

نتایج نشان می‌دهد که دو عامل مقدار و زمان افزودن فعال کننده سطح بر روی اندازه ذرات و تشکیل ساختارهای کلوخه‌ای در فرو سیال بر پایه نفت موثر است. اضافه کردن فعال کننده سطح قبل از انجام واکنش، کمترین اندازه هیدرودینامیکی ذرات (کمترین تعداد کلوخه‌ها) و بلور کها را نشان می‌دهد. علاوه بر این در این حالت،

#### ۵- مراجع

1. S. Odenbach, Magnetoviscouse effects in ferrofluids, Springer-Verlarg Berlin Heidelberg, 2002.
2. R. Rosensweig, ferrohydrodynamics, Cambridge University Press, Cambridge, New York 1985.
3. S. Odenbach, Ferrofluids, Handbook of magnetic materials, Edited by K. H. J. Buschow, vol. 16. Hardbound, 2006.
4. S. M. Hosseini, A. Fazlali, E. Ghasemi, H. Ahmadi Moghadam, M. Salehi, Rheological properties of a  $\gamma$ -Fe<sub>2</sub>O<sub>3</sub> paraffin-based ferrofluid. *J. Magn. Magn. Mater.* 322(2010), 1-5.
5. E. Ghasemi, M. Edrissi, A. Mirhabibi, Synthesis and rheological properties of an iron oxide ferrofluid. *J. Magn. Magn. Mater.* 320(2008), 2635-2639.
6. K. S. Wilson, J. D. Goff, J. S. Riffle, L. A. Harris, T. G. St. Pierre, Polydimethylsiloxane-magnetite nanoparticles complexes and dispersions in polydimethylsiloxane carrier fluids. *Polym. Adv. Technol.* 16 (2005), 200-211.
7. H. Chen, S. Liu, Y. Li, C. Deng, X. Zhang, P. Yang, Development of oleic acid-functionalized magnetite nanoparticles as hydrophobic probes for concentrating peptides with MALDI-TOF-MS analysis. *Proteomics*. 11(2011), 890-897.
8. A. Wooding, M. Kilner, D. B. Lambrick, Studies of the double surfactant layer stabilization of water-based magnetic fluids. *J. Colloid Interface Sci.* 144(1991) 236.
9. Y. Sahoo, H. Pizem, T. Fried, D. Golodnitsky, L. Burstein, C. N. Sukenik, G. Markovich, Alkyl phosphonate/phosphate coating on magnetite nanoparticles: A comparison with fatty acids. *Langmuir*. 17(2001), 7907-7911.
10. M. V. Avdeev, D. Bica, L. Vekas, O. Marinica, M. Balasoiu, V. L. Aksenov, L. Rosta, V. M. Garamus, A. Schreyer, On the possibility of using short chain length mono-carboxylic acids for stabilization of magnetic fluids. *J. Magn. Magn. Mater.* 311(2007), 6-9.
11. E. Ghasemi, Investigation on rheological properties iron oxide ferrofluid, Ph.D thesis, materials and metallurgy department, Iran university of science and technology, February 2009.
12. X. Wang, C. Zhang, Xiaoliang Wang b, Hongchen Gu, The study on magnetite particles coated with bilayer surfactants. *Appl. Surf. Sci.* 253(2007), 7616-7621.
13. L. Fu, V. P. Dravid, D. L. Johnson, Self assembeled (SA) bilayer molecular coating on magnetic nanoparticles. *Appl. Surf. Sci.* 181(2001), 173-178
14. M. M. Hanjani, E. Ghasemi, M. Safi, Effect of temperature and atmosphere of co-precipitation reaction on the magnetic and colorimetric properties of iron oxide nanoparticles. *J. Color Sci. Tech.* 7(2013), 85-92
15. A. Kumar Gupta, M. Gupta, Synthesis and surface engineering of iron oxide nanoparticles for biomedical applications. *Biomater.* 26(2005), 3995-4021.
16. D. Maity, D. C. Agrawal, Synthesis of iron oxide nanoparticles under oxidizing environment and their stabilization in aqueous and non-aqueous media. *J. Magn. Magn. Mater.* 308(2007), 46-55.
17. M. Klokkenburg, J. Hilhorst, B. H. Erne, Surface analysis of magnetite nanoparticles in cyclohexane solutions of oleic acid and oleylamine. *Vib. Spectrosc.* 43(2007), 243-248.
18. L. Zhang, R. He, H. Ch. Gu; Oleic acid coating on the monodisperse magnetite nanoparticles. *Appl. Surf. Sci.* 253(2006), 2611-2617.
19. T. Ozkaya, M. S. Toprak, A. Baykal, H. Kavas, Y. Koseoglu, B. Aktas, Synthesis of Fe<sub>3</sub>O<sub>4</sub> nano particles at 100°C and its magnetic characterization. *J. Magn. Magn. Mater.* 472(2009), 18-23.
20. L. Fu, V. P. Dravid, D. L. Johnson, Self- assembled bilayer molecular coating on magnetic nanoparticles. *Appl. Surf. Sci.* 181(2001), 173-178.
21. M. T. Lopez- Lopez, J. D. G. Duran, A. V. Delgado, F. Gonzalez- Caballero, Stability and magnetic characterization of oleate-covered magnetic ferrofluids in different nonpolar carriers. *J. Colloid Interface Sci.* 291(2005), 144-151.
22. P. Gurdia, B. Betlle- Brugal, A. G. roca, O. Iglesias, M. P. Morales, C. J. Sema, A. Labarta, X. Battle; Surfactant effects in magnetic nanoparticles of controlled size. *J. Magn. Magn. Mater.* 316(2007), 756-759.
23. L. Fu, V.P. Dravid, D. L. Johnson, Self-assembled (SA) bilayer molecular coating on magnetic nanoparticles. *Appl. Surf. Sci.* 181(2001), 173-178.
24. D. Bikka, L. Vekas, M. J. Rasa, Preparation and magnetic properties of concentrated magnetic fluids on alcohol and water carrier liquids. *J. Magn. Magn. Mater.* 252(2002), 10-12.